

1/26

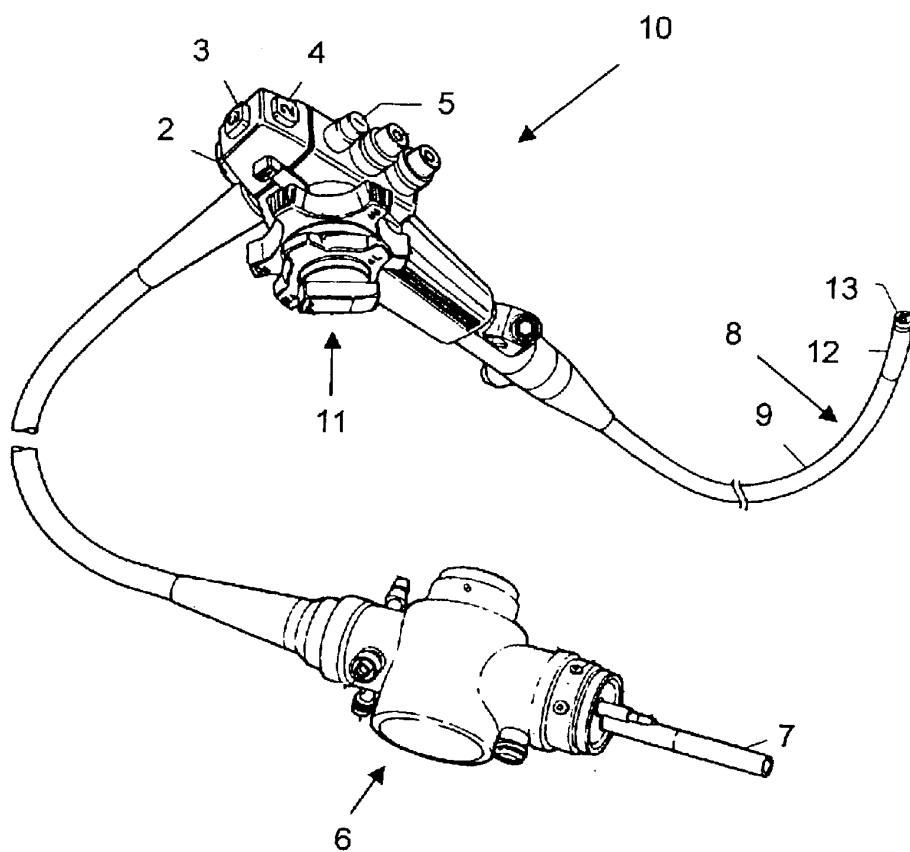


Fig. 1

10/030018

2/26

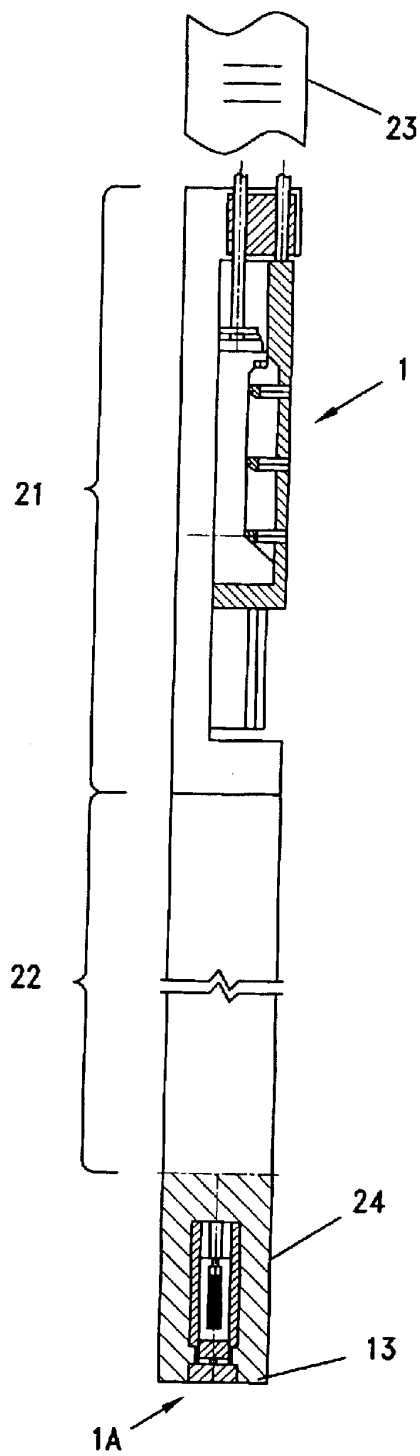


Fig. 2A

3/26

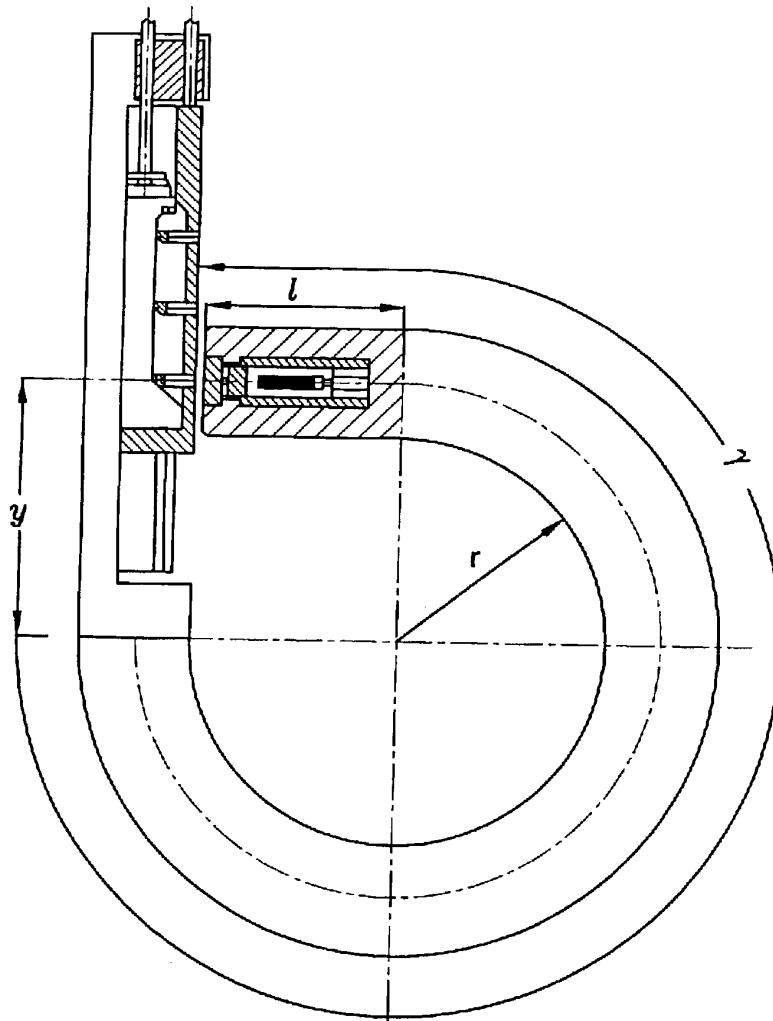


Fig. 2B

4/26

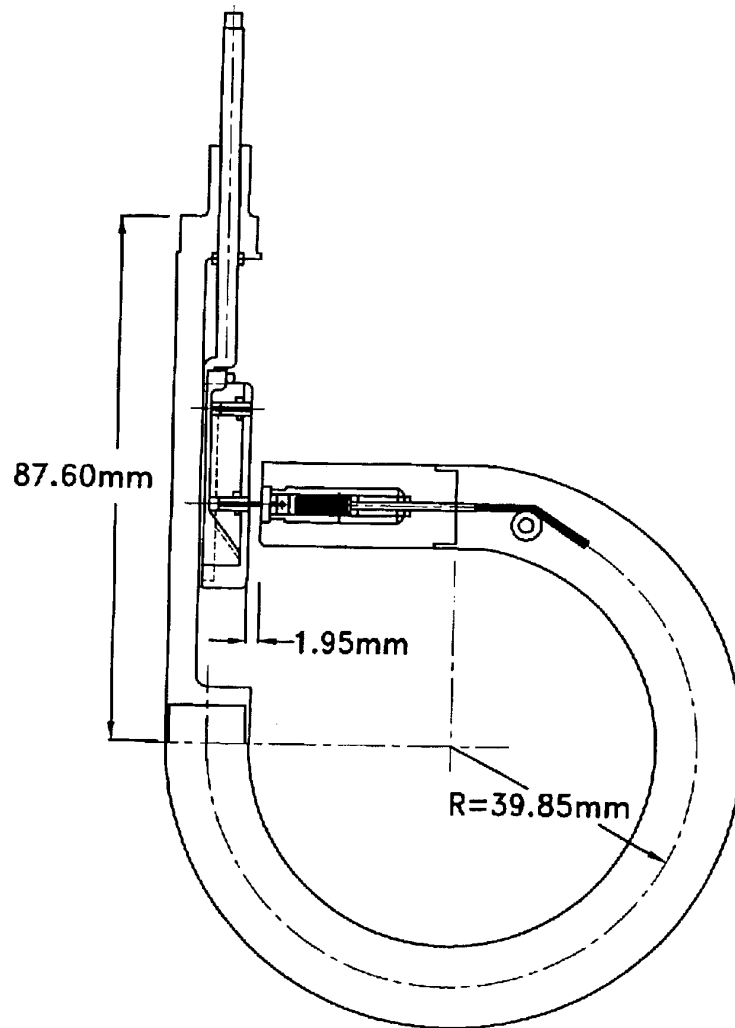


Fig. 2C

5/26

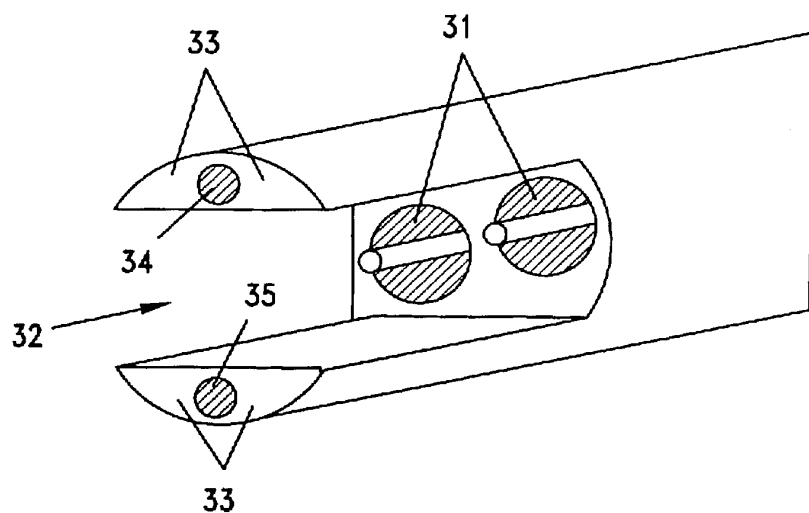


Fig. 3A

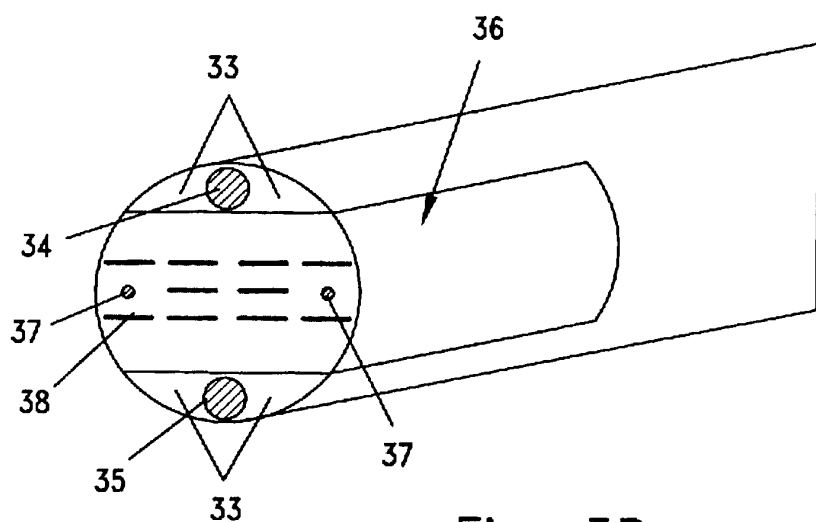


Fig. 3B

6/26

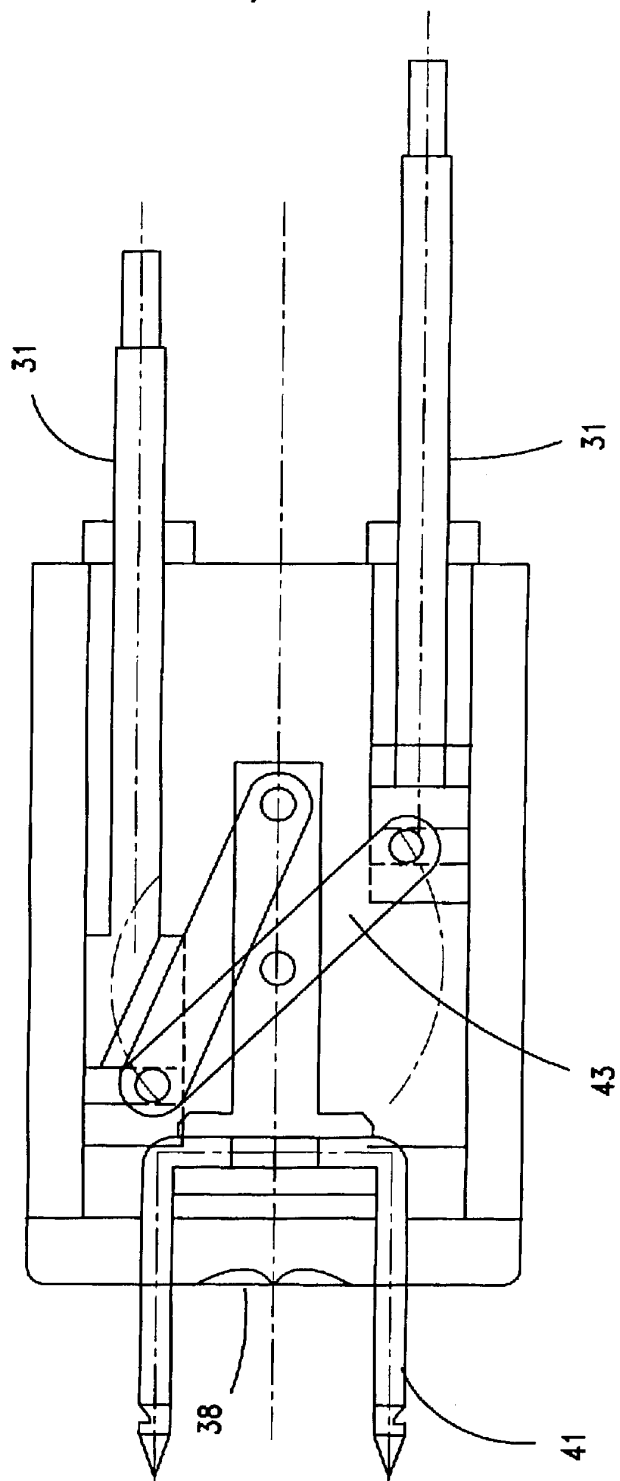


Fig. 4A

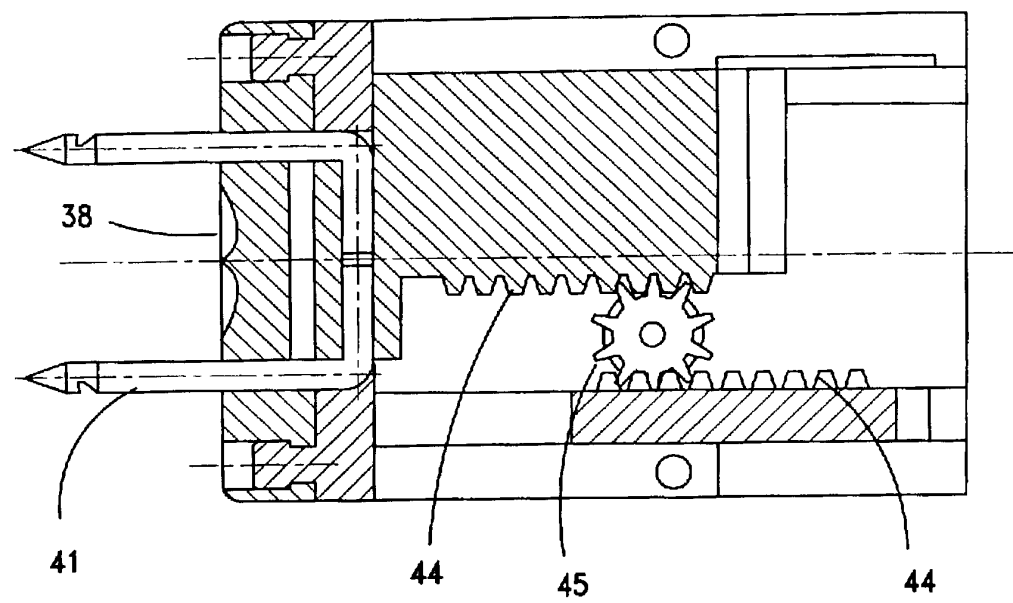


Fig. 4B

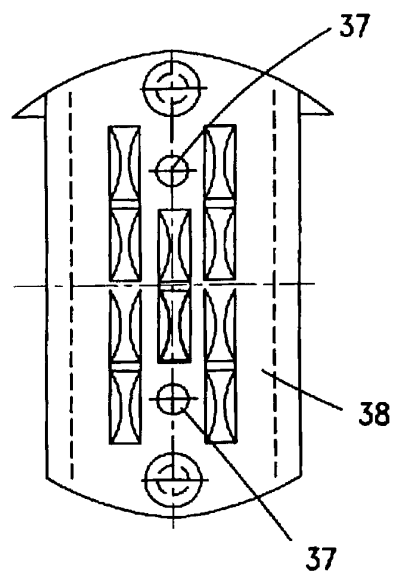


Fig. 4C

8/26

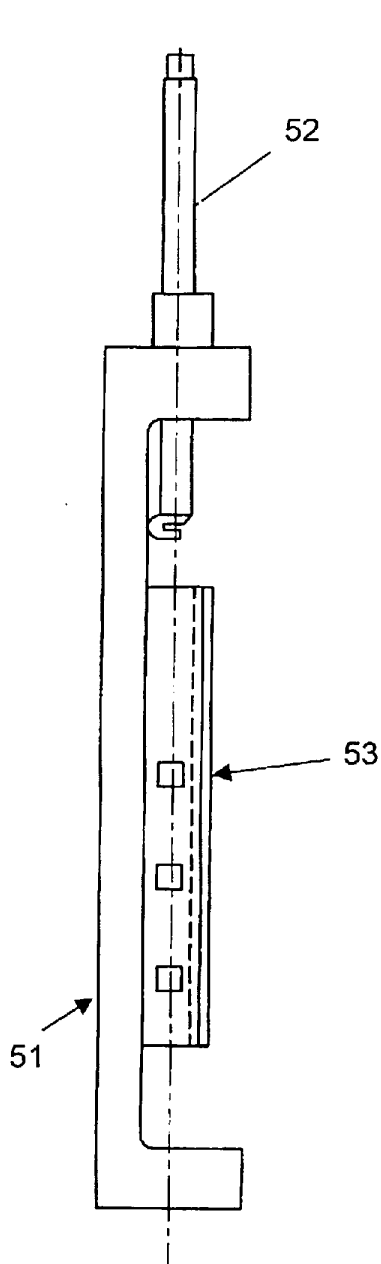


Fig. 5A

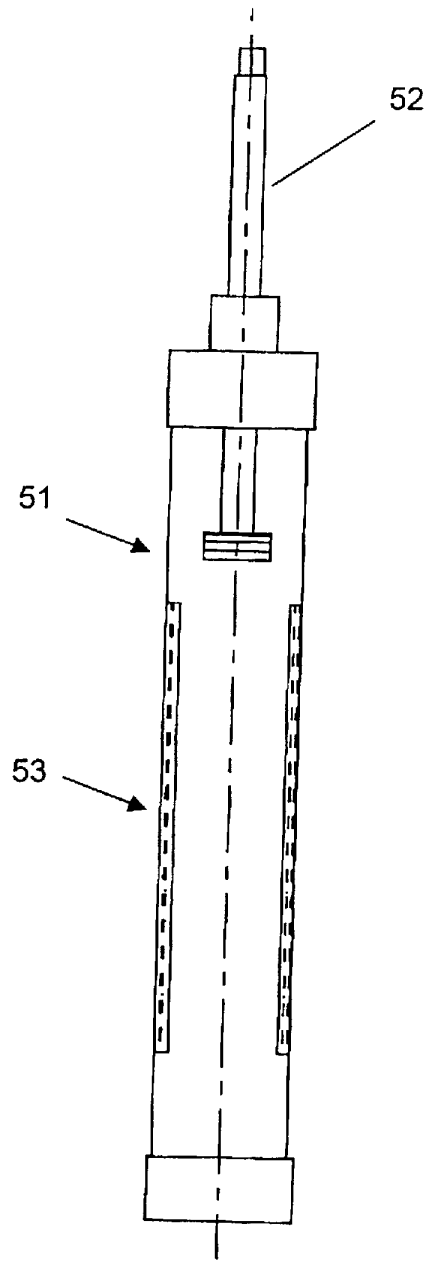


Fig 5B



9/26

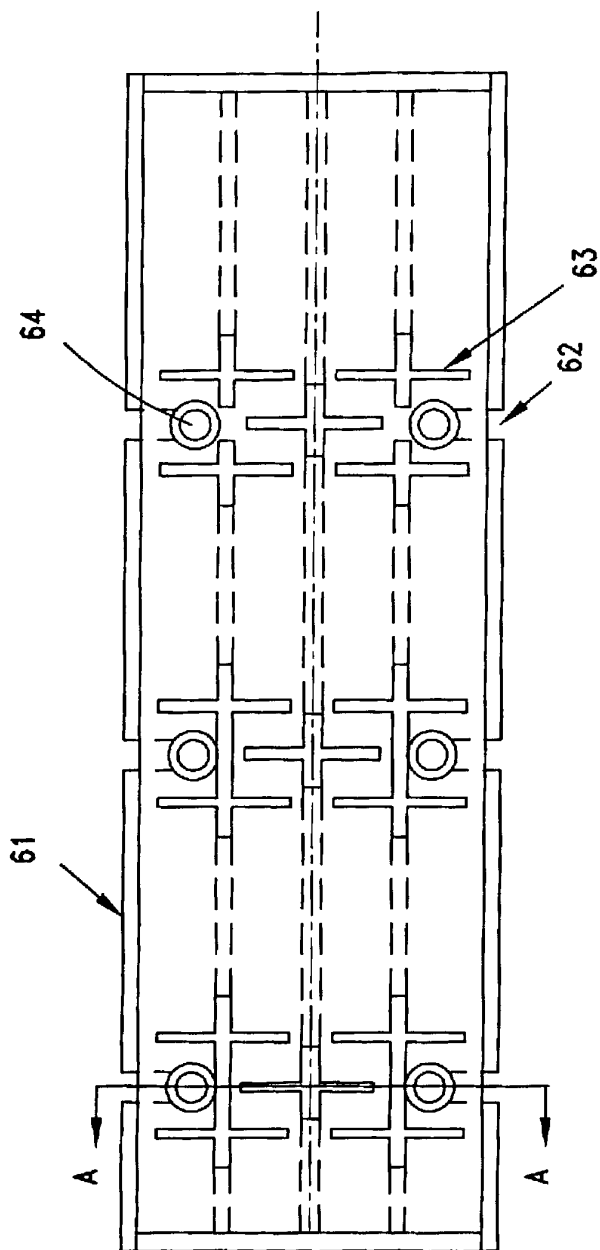


Fig. 6A

10/26

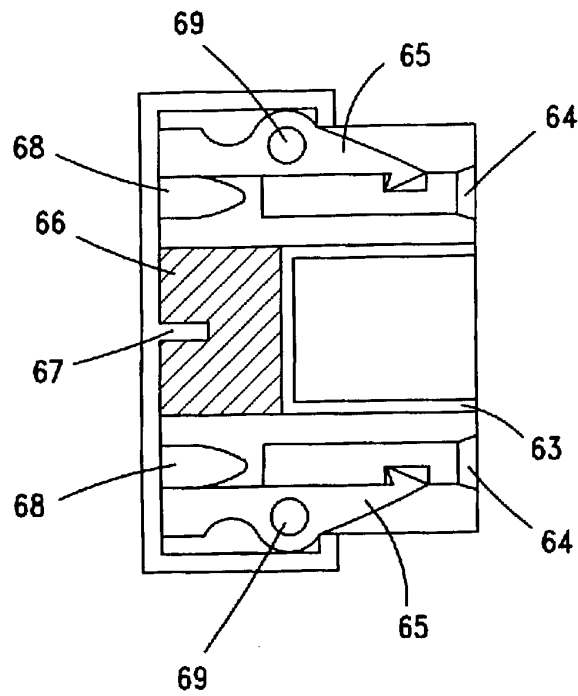


Fig. 6B

11/26

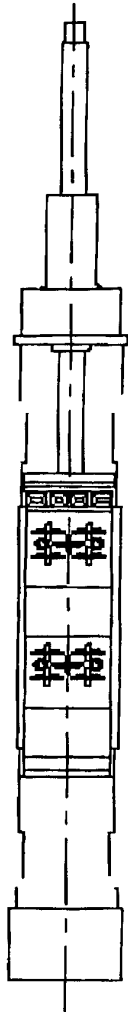


Fig. 6C

12/26

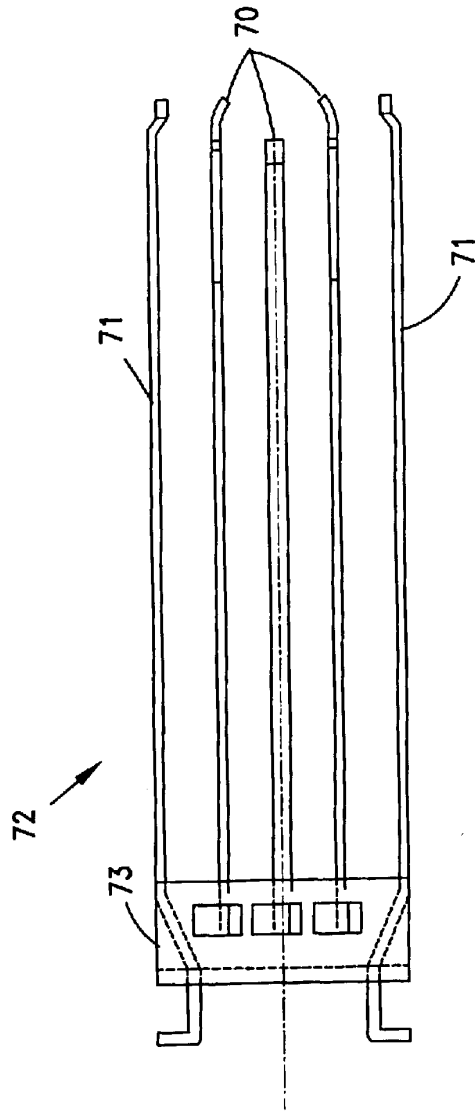


Fig. 7

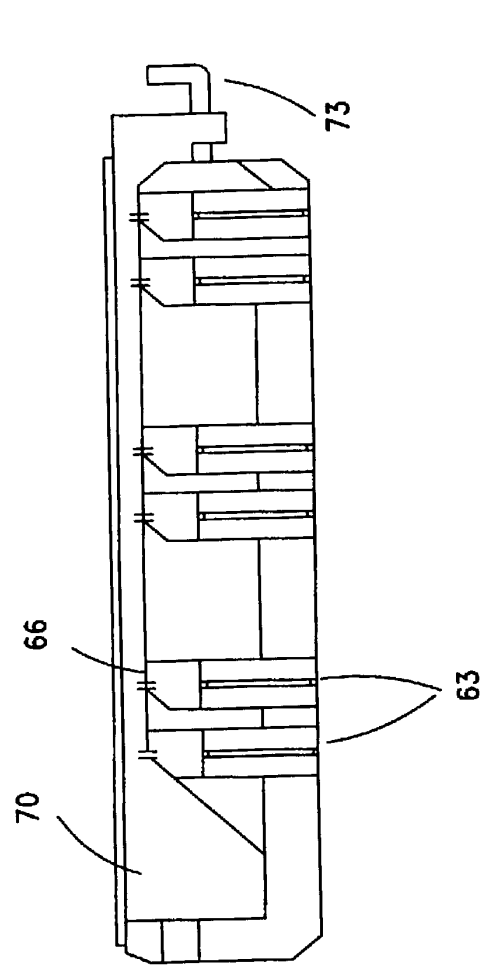


Fig. 8A

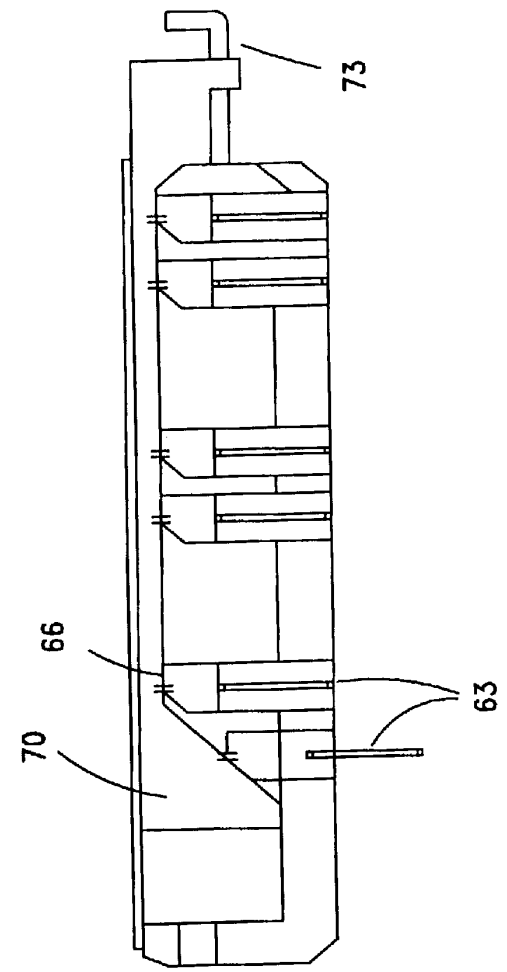


Fig. 8B

14/26

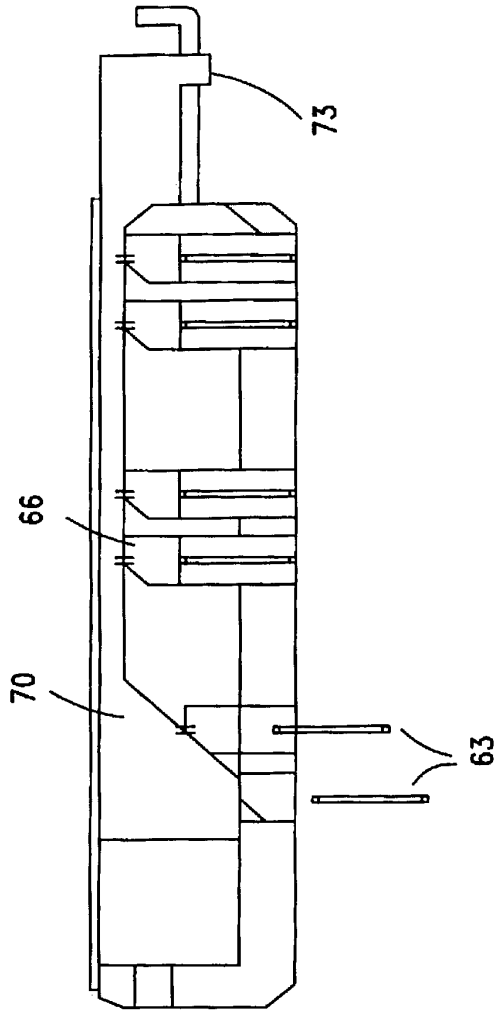


Fig. 8C

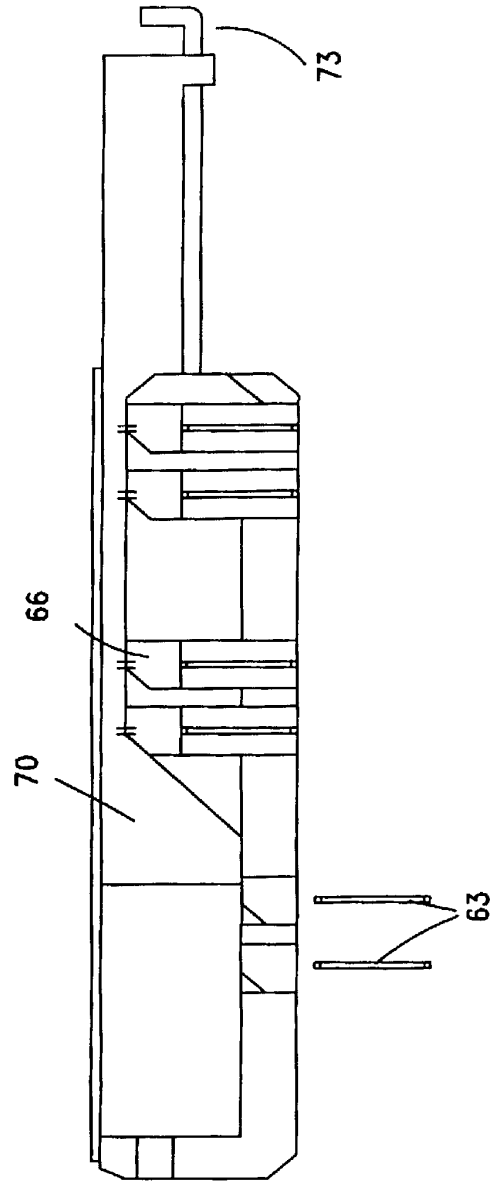


Fig. 8D

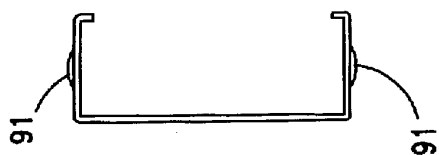


Fig. 9B

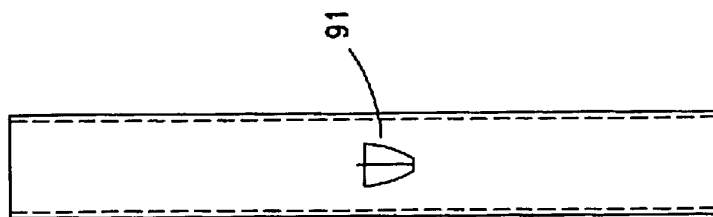


Fig. 9A

16/26

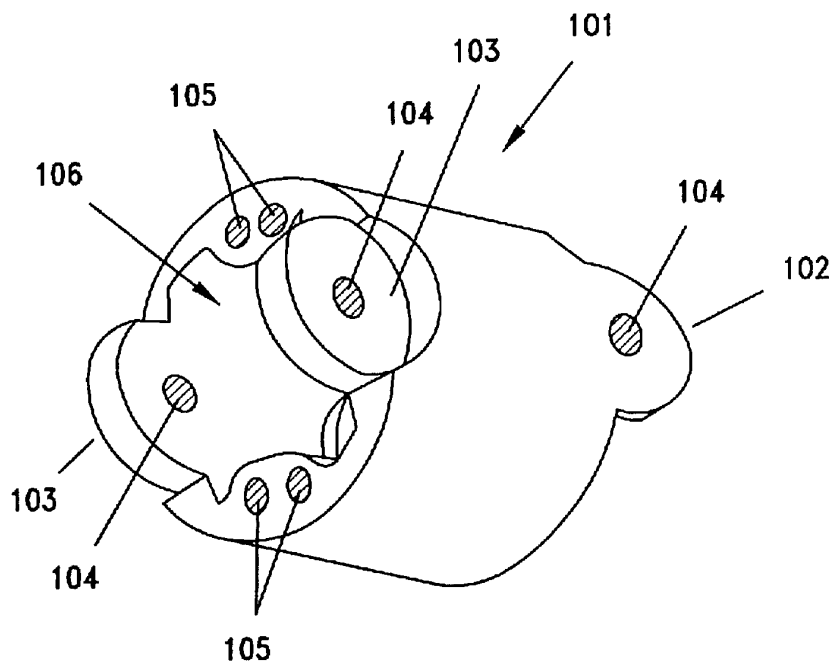


Fig. 10A

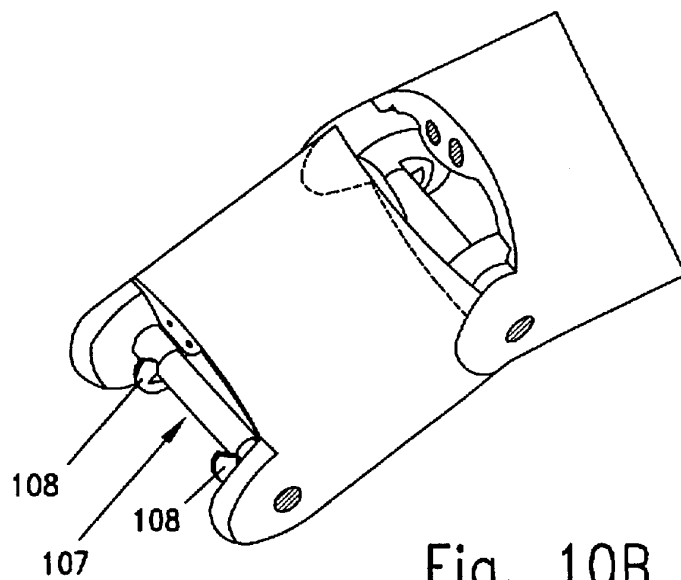


Fig. 10B



17/26

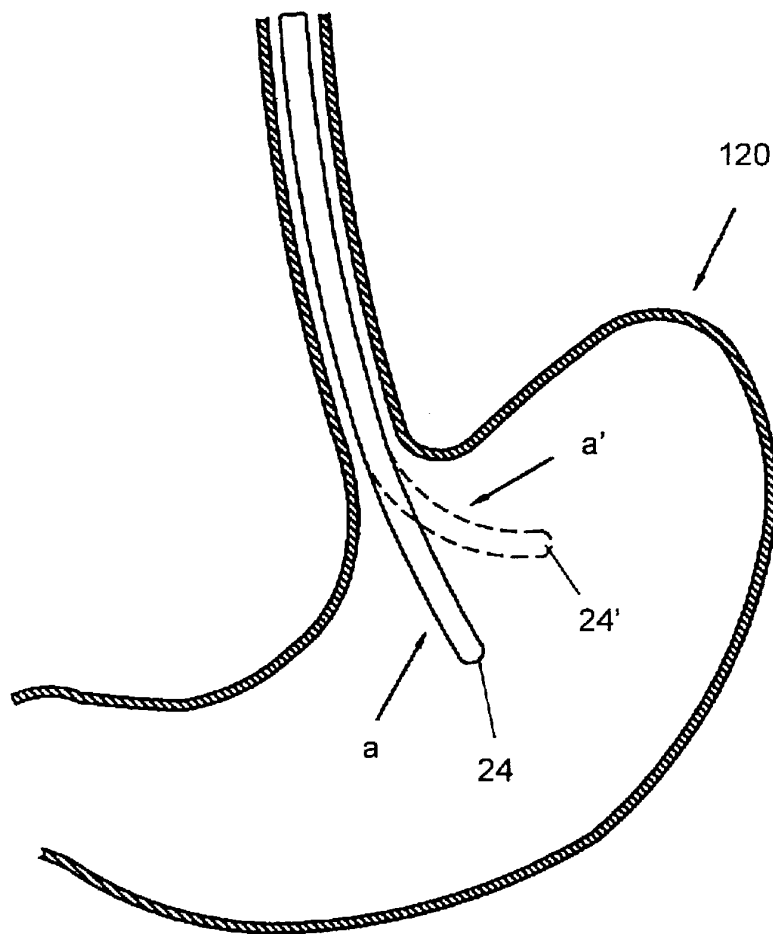


Fig. 11A

18/26

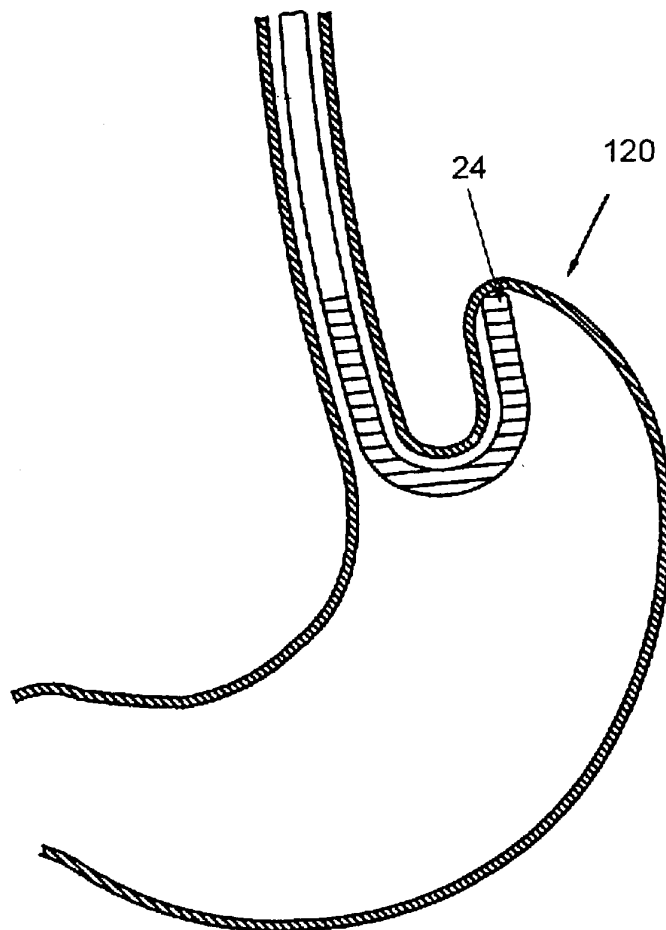


Fig. 11B

10/030018

19/26

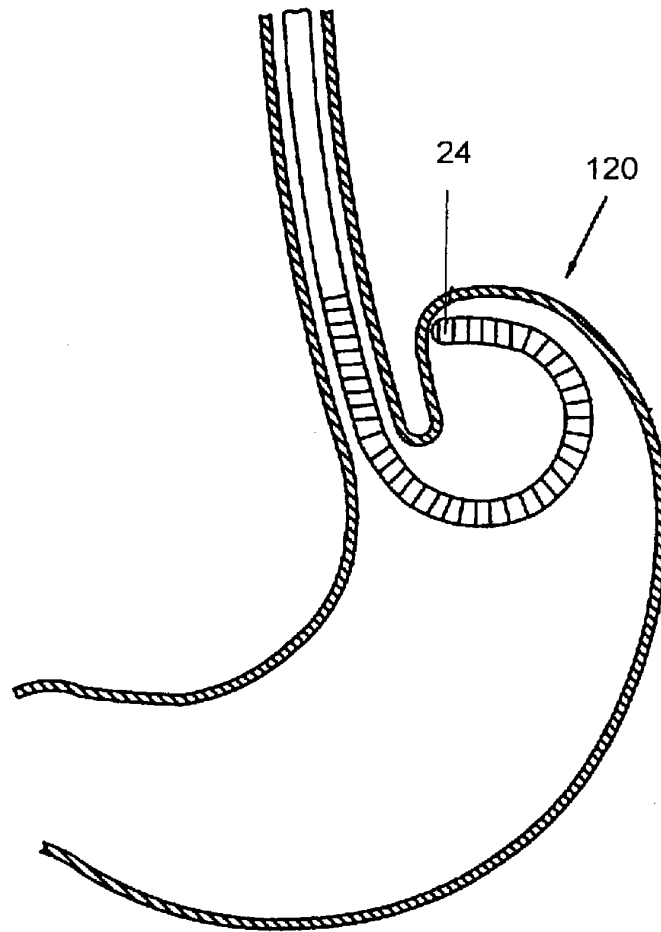


Fig. 11C

20/26

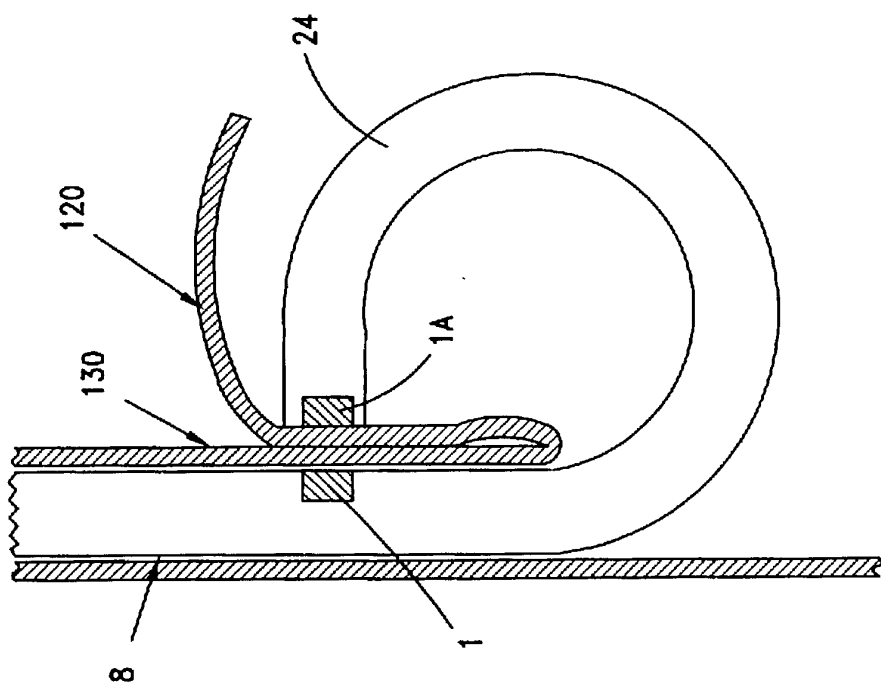


Fig. 12

21/26

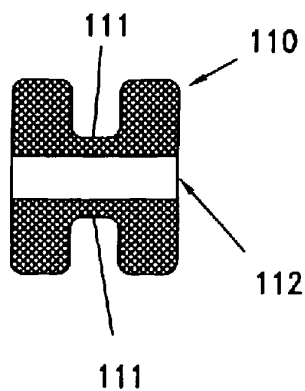


Fig. 13

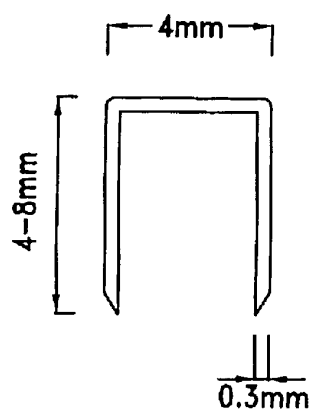


Fig. 14A

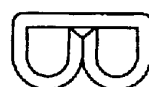


Fig. 14B

22/26

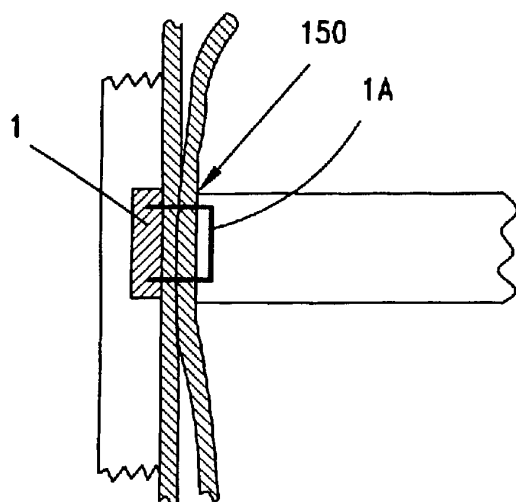


Fig. 15A

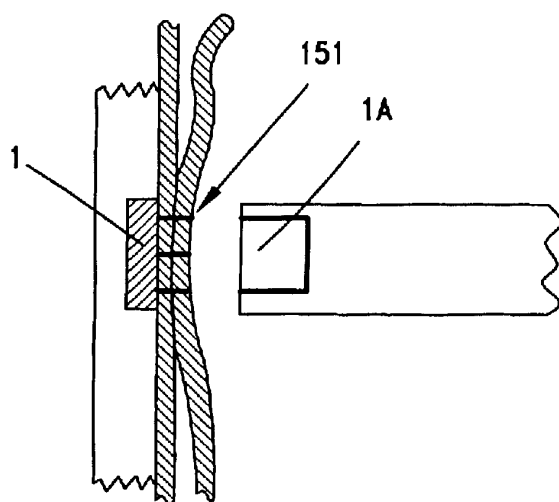


Fig. 15B

23/26

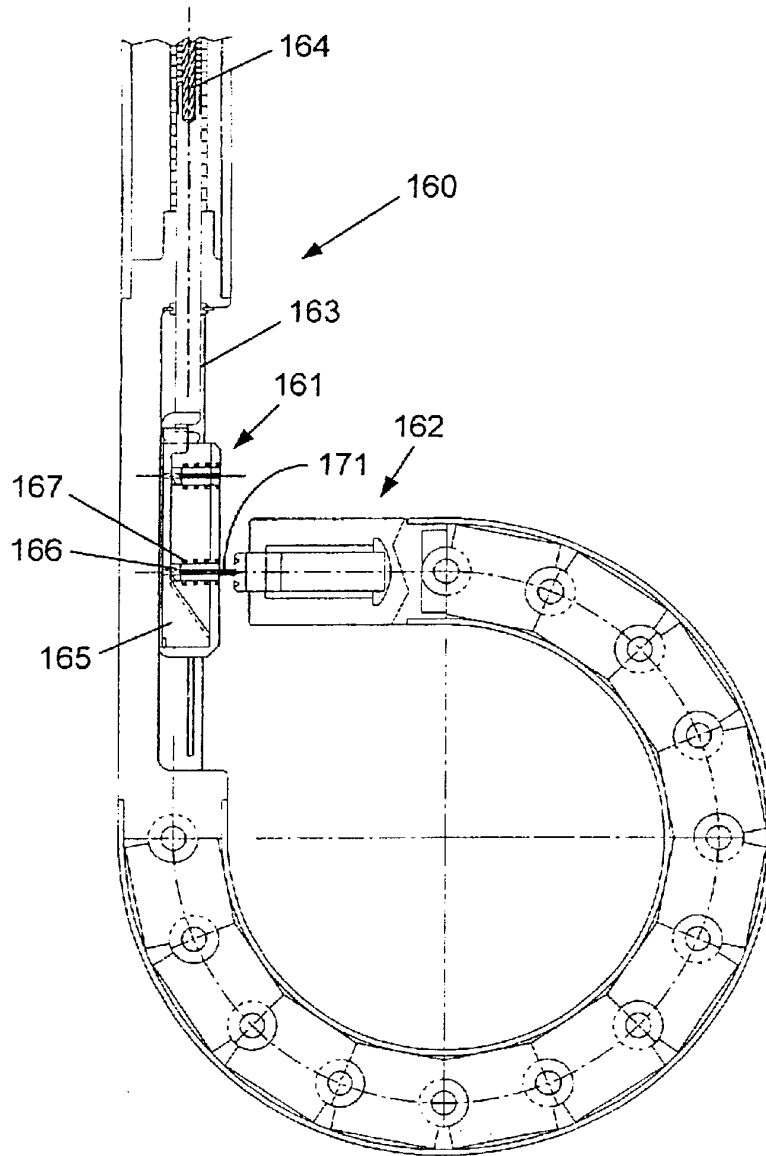


Fig. 16

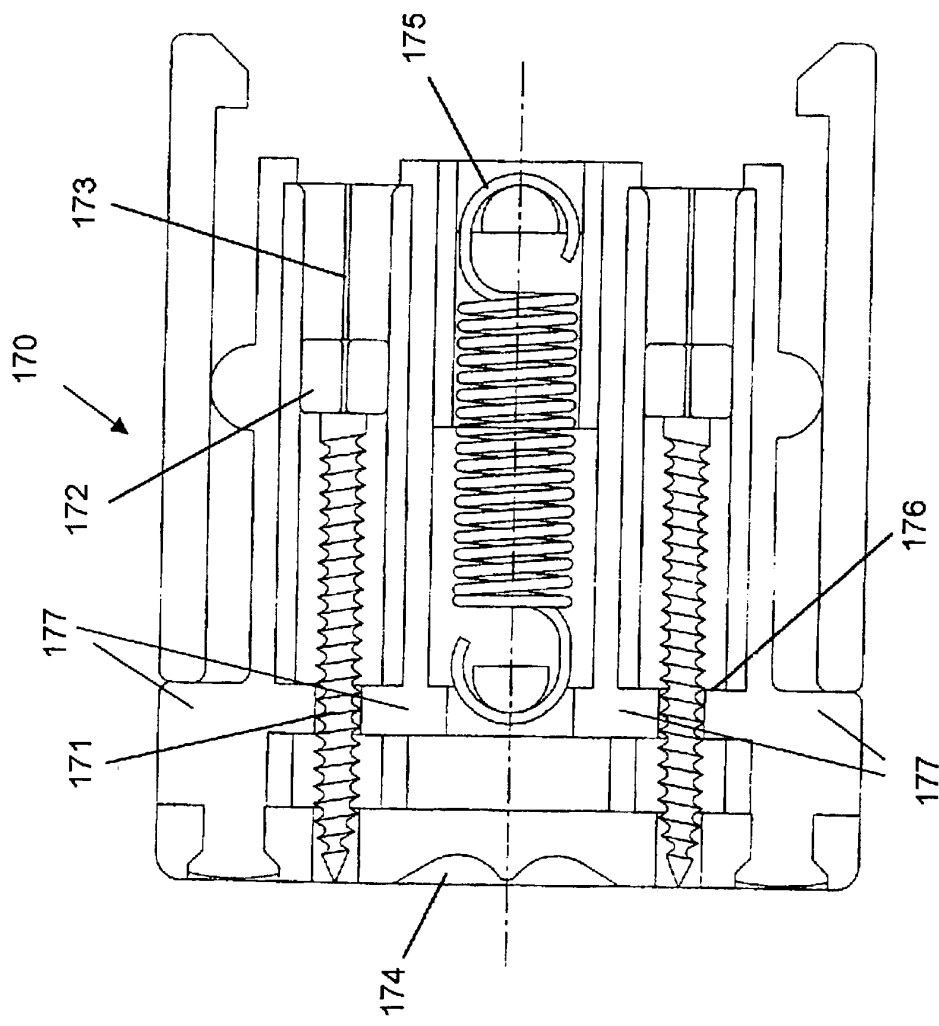


Fig. 17



10/030018

25/26

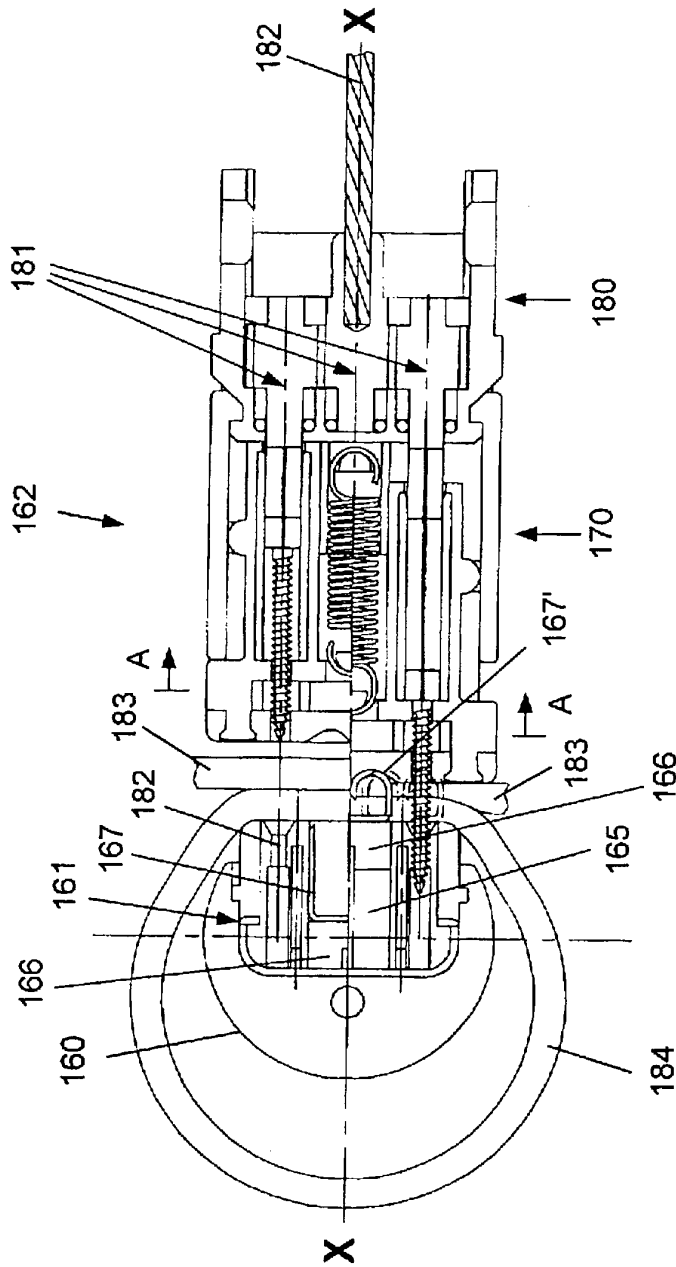


Fig. 18A



Fig. 18B



186